

**EXPERIMENTÁLNÍ A NUMERICKÉ URČENÍ PARAMETRŮ LOMOVÉ MECHANIKY
PRO PŘÍPAD KOMBINOVANÉHO ZATÍŽENÍ****EXPERIMENTAL AND NUMERICAL DETERMINATION OF FRACTURE MECHANICS
PARAMETERS IN THE CASE OF COMBINED LOADING**

F. Plánička, V. Laš, P. Koška, J. Vízner

The boundary element method is applied to the J-integral determination in the case of a mixture of modes I and II. Results are compared with those obtained using photoelasticity method.

Příspěvek se zabývá stanovením hodnot J-integrálu u rovinné desky s centrální šikmou trhlinou zatíženou jednoosým tahem. Výpočet byl proveden numericky s využitím metody hraničních prvků (MHP) a ověřen experimentálně pomocí fotoelasticimetrické metody.

Stanovení J_I a J_{II} pomocí MHP

Při řešení úloh se symetrickou trhlinou se výpočtový model sestavuje pouze z jedné poloviny zkoumané oblasti. Tyto úlohy lze řešit běžným programem založeným na bázi MHP. Tento program však selhává při výpočtu nesymetrických úloh.

Jedna z možností jak řešit nesymetrické úlohy, je využití techniky substruktur v MHP [1]. Tato metoda spočívá v tom, že se řešená oblast rozdělí řezem procházejícím trhlinou na dvě části (substruktury), které jsou spolu svázány okrajovými podmínkami

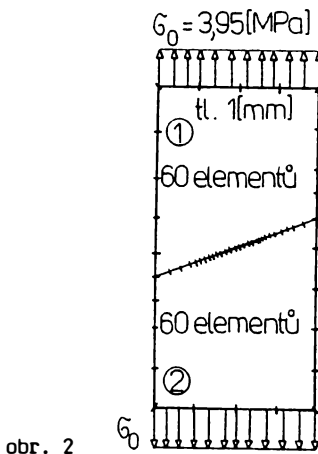
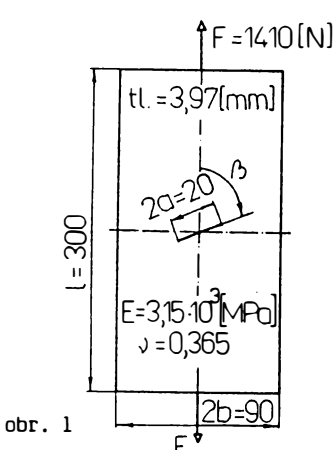
$${}^1u_i = {}^2u_i ; \quad {}^1t_i = - {}^2t_i ; \quad i = 1, 2, \quad (1)$$

kde 1u_i , 2u_i , 1t_i , 2t_i jsou posuvy a napětí v uzlových bodech části I a části II na společné hranici. Tyto posuvy a napětí vstupují do výpočtu jako další neznámé hodnoty na hranici.

Jedním z kriterií stability trhliny je Rice-úv J-integrál. U obecně umístěné trhliny dochází při zatížení ke kombinaci modu I a modu II a J-integrál obsahuje příspěvky obou modů. Platí obecně známý vztah [3]

$$J = J_I + J_{II} , \quad (2)$$

kde $J_k = \int_{\Gamma} \left[w^k dx_2 - t_i^k \frac{\partial u_i^k}{\partial x_1} ds \right] , \quad k = I, II, \quad i = 1, 2.$



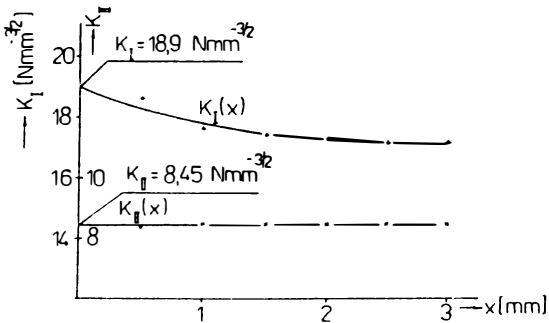
Výpočet hodnot J_I a J_{II} byl proveden na rovinné desce se šíkmou centrální trhlinou. Rozměry desky, zatížení a materiálové konstanty jsou zřejmě z obr. 1. Výpočtový model byl vytvořen pomocí 120ti elementů, přičemž v okolí hrotu trhliny byla zvolena jemná síť o velikosti elementů 1 [mm] (obr. 2).

Fotoelasticimetrická metoda

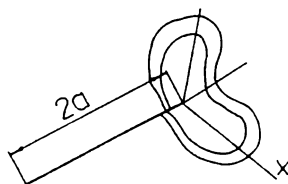
Hodnoty integrálů J_I , J_{II} a $J = J_I + J_{II}$ pro uvažovaný případ rovinné napjatosti byly z experimentálně

určených součinitelů intenzity napětí K_I a K_{II} [4] (obr. 3) pro úhel $\beta = 60^\circ$ vypočteny pomocí vztahu

$$J_J = \frac{1}{E} K_J^2, \quad \text{kde } J = I, II \quad (3)$$



obr. 3



obr. 4

K odstranění značného rozptylu při výpočtu součinitelů intenzity napětí K_I a K_{II} z naměřených fotoelasticimetrických veličin m a φ byl použit nový postup, kdy obě měřené veličiny byly určovány v závislosti na vzdálenosti r od vrcholu trhliny podél dvou přímek vedených tak, aby pokud možno procházely vrcholy izochromát (obr. 4). Hodnoty K_I a K_{II} byly vypočteny pomocí vztahů [4]

$$\tau_{xy} = \frac{K_I}{2\sqrt{\pi a}} g \cos B + \frac{K_{II}}{2\sqrt{\pi a}} (h \cos A - g \sin B) \quad (4)$$

$$\tau_{xy} = \frac{m}{2t} k_o \sin 2\varphi$$

vždy ze dvou hodnot pro uvažované přímky na stejném poloměru x . Výsledná hodnota obou veličin byla na poloměru x určena jako střední hodnota z osmi hodnot získaných vyhodnocením měření. Extrapolací do vrcholu trhliny byly určeny hodnoty součinitelů napětí K_I a K_{II} , obr. 3.

Závěr

Experimentálně bylo uvedeným postupem bylo určeno $K_I = 18,9 \text{ Nmm}^{-3/2}$, $K_{II} = 8,45 \text{ Nmm}^{-3/2}$ pro $\beta = 60^\circ$. Ze vztahu (3) bylo vypočteno $J_I = 11 \cdot 10^{-2} \text{ Nmm}^{-1}$, $J_{II} = 2,3 \cdot 10^{-2} \text{ Nmm}^{-1}$ a $J = 13,3 \cdot 10^{-2} \text{ Nmm}^{-1}$. Pomocí numerické metody hraničních prvků bylo vypočteno: $J_I = 9,8 \cdot 10^{-2} \text{ Nmm}^{-1}$, $J_{II} = 2,7 \cdot 10^{-2} \text{ Nmm}^{-1}$ a $J = 12,5 \cdot 10^{-2} \text{ Nmm}^{-1}$. Odtud vyplývá, že rozdíl se pohybuje v rozmezí 6% u J -integrálu a 17% u J_{II} , kde také rozdíly výsledků získaných experimentálně a pomocí analytické závislosti pro větší úhly β , tedy při menším podílu II. modu, jsou větší. Hodnota J_{II} získaná numerickým výpočtem se blíží hodnotě vypočtené z analytické závislosti ($J_{II} = 2,9 \cdot 10^{-2} \text{ Nmm}^{-2}$).

Práce byla uskutečněna za finanční podpory Grantové agentury ČR s číslem grantu 101/93/0113.

LITERATURA:

- [1] Brebbia, C. A.: Boundary element techniques, Springer - Verlag, Berlin 1984.
- [2] Plánička, F. - Laš, V.: Porovnání součinitelů intenzity napětí stanovených experimentálně a numericky. Sborník konference EAN, Měřín 1993, s. 239 - 242.
- [3] Rice, J. R.: A path independent integral and the approximate analysis of strain concentrations by notches and cracks. J. Appl. Mech., 33, June 1968, pp. 379 - 386.
- [4] Vísner, J. - Bělský, A.: Napětí u špičky šikmé trhliny - fotoelasticimetrické určení součinitelů K_I a K_{II} . Výzkumná zpráva Škoda k.p. Plzeň, Závod Energetické strojírenství, 1986.

František Plánička, Prof., Ing., CSc.; Vladislav Laš, Doc. Ing. CSc.; Petr Koška, Ing.

Západočeská univerzita, Americká 42, 306 14 Plzeň

Telefon 019/2171131, fax 019/274251

Josef Vísner, Ing., CSc.

Škoda, Jaderné strojírenství s.r.o., Orlík 266, 316 06 Plzeň
Telefon 019/2155294, fax 019/526967